TEMA ESPECIAL DE FÍSICA DE REATORES DO VIII ENFIR

Adimir dos Santos Instituto de Pesquisas Energéticas e Nucleares / CNEN-SP

João M. L. Moreira e Alfredo Y. Abe Coordenadoria para Projetos Especiais - COPESP

RESUMO

O primeiro tema especial de física de reatores incluiu dois problemas com os quais buscava-se avaliar a capacidade de análise das instituições participantes para prever criticalidade em núcleos de UO₂ e estimar reatividade de barras de controle de Ag-In-Cd e B₄C. As instituições participantes, CNEN, CTEX, IPEN/CNEN-SP e IEN/CNEN-RJ apresentaram seus resultados que foram resumidos e comparados pela comissão organizadora neste trabalho. Os resultados completos de cada instituição também se encontram nesta brochura. Os resultados obtidos pelas instituições apresentaram discrepâncias médias de 0,59 % e 0,47 % na previsão de criticalidade de núcleos de UO₂-aço inoxidável e UO₂-zircaloy, respectivamente. As discrepâncias médias para barras de controle de Ag-In-Cd e B₄C foram, respectivamente, de 0,66 % e 1,2 % em reatividade. Todos os participantes utilizaram o programa CITATION para os cálculos de difusão, entretanto para o cálculo celular as instituições utilizaram programas diferentes.

INTRODUÇÃO

instituições internacionais participam de exercícios de cálculo celular e de difusão para avaliar suas capacidades de análise, identificar possíveis problemas em suas metodologias de cálculo e em grupo os problemas encontrados. um esforço resolver problemas problemas internacional vem realizado dirimir dúvidas em cálculos envolvendo ciclos de combustível de alta conversão para a utilização de Pu', indicando que o cálculo de núcleos térmicos e rápidos seja um problema já resolvido no exterior. Nota-se também uma certa padronização nos métodos de cálculo em vários países, principalmente na França e Argentina.

O Tema Especial de Física de Reatores do VIII Enfir visou um melhor entendimento das técnicas de previsão de criticalidade e estimativa de reatividade de núcleos térmicos. Os objetivos colocados foram avaliar os diferentes modelos e programas utilizados por instituições do país e identificar possíveis problemas nos resultados. Os problemas propostos incluíram duas unidades críticas de UO com revestimentos de aço inoxidável e de zircaloy e barras de controle de Ag-In-Cd e BC. Não foi considerando queima nos, problemas.

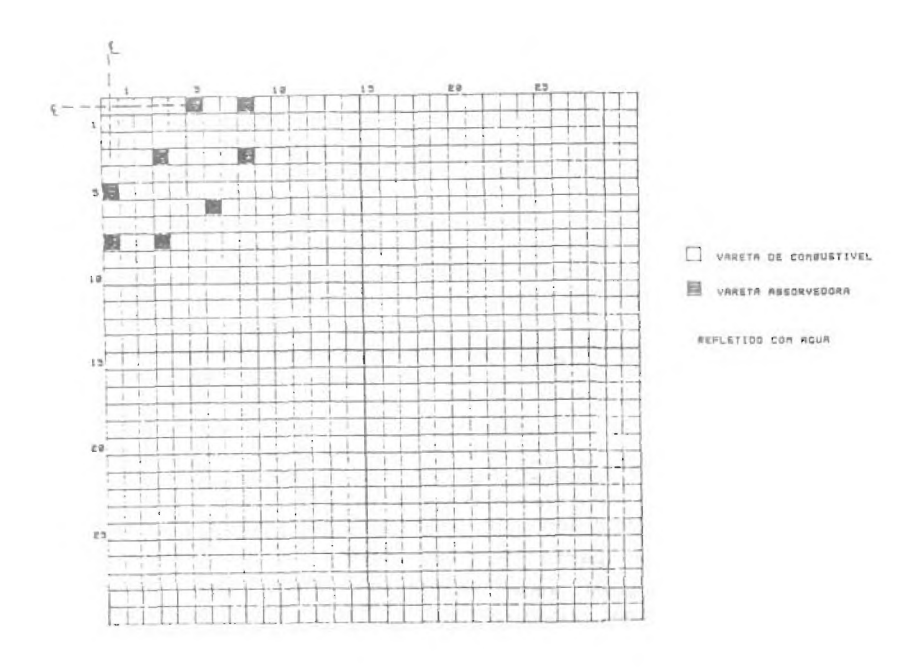
Os núcleos dos problemas 1 e 72 foram montados nas instalações do "Reactor Evaluation Center" da Westinghouse^{2,3}. Ambos os problemas são baseados em experimentos de determinação da altura crítica dos núcleos por meio da variação do nível de moderador de água leve.

DESCRIÇÃO DOS EXPERIMENTOS

A Unidade Crítica do "Reactor Evaluation Center" é composta basicamente de um tanque de aço inoxidável de 182,88 cm de diâmetro e 213,36 cm de altura. Dentro deste tanque foram colocados os núcleos em estudo e água leve que serve como moderador e refletor. Numa plataforma sobre o tanque forma montadas barras cruciformes de segurança que asseguram o desligamento do núcleo juntamente com o esvaziamento rápido do tanque de moderador. Os núcleos foram montados dispondo varetas de material combustível e absorvedor nas configurações desejadas. O suporte das varetas é garantido por placas espaçadoras de aço inoxidável.

Os experimentos foram realizados de forma que a parte superior das varetas de combustível e de material absorvedor de neutrons ficavam descobertas (sem água ou moderador), tornando o núcleo não refletido na parte superior. A água e o material estrutural abaixo do núcleo constituíam o refletor inferior. Dada a complexidade para modelar corretamente as partes inferior e superior do conjunto crítico, os experimentadores determinaram um "buckling" axial crítico para que os experimentos pudessem ser analisados em duas dimensões. Em suma, os resultados experimentais foram corrigidos tornando o problema bi-dimensional.

A Figura 1 apresenta a localização das varetas de UO₂ revestidas de aço inoxidável e das varetas absorvedoras de Ag-In-Cd no núcleo do problema 1. As Tabelas 8 a 13 no Apêndice apresentam os dados relativos ao problema 1. Na Figura 2 encontram-se as posições das varetas absorvedoras de B₄C e de



Figurs 1 - Núcleo do Problema 1 (61 x 61). Quadros hachurados representam varetas abosrvedoras de Ag-In-Cd.

UO2 revestido de zircaloy no núcleo do problema 2. As Tabelas 14 a 18 no Apêndice apresentam os dados relativo ao problema 2. Salienta-se que o núcleo sem controle em ambos os problemas tem as posições de varetas absorvedoras preenchidas com água leve.

Os "bucklings" axiais das configurações críticas foram obtidos da fórmula $(\frac{\pi}{H})^2$ onde H é a soma da altura da água (altura ativa) e das economias de refletor superior e inferior.

A economia de refletor é obtida da distribuição axial de fluxo neutrônico medida para uma dada configuração. A distribuição de fluxo medida é ajustada a um cosseno de forma a se obrter o "buckling" axial. A economia de refletor é definida neste tema especial como a diferença entre o cosseno ajustado é extrapolado a zero e a altura ativa real do núcleo. Os resultados experimentais^{2,3} mostraram que a economia de refletor varia pouco com a presença ou não de varetas absorvedoras no núcleo.

RESULTADOS SOLICITADOS AOS PARTICIPANTES

Foi solicitado aos participantes que:

1) Determinassem o k para as configurações de núcleo com e sem varetas absorvedoras de neutrons com as respectivas alturas críticas.

O núcleo com varetas absorvedoras foi denominado núcleo com controle.

2) Determinassem a reatividade das varetas absorvedoras de neutrons considerando como

absorvedoras de neutrons considerando como referência o núcleo sem varetas absorvedoras. 3) Averiguassem o impacto das modelagens (número de meshs, célula de combustível, célula de controle, célula de água, etc) nos resultados.

Solicitou-se aos participantes que

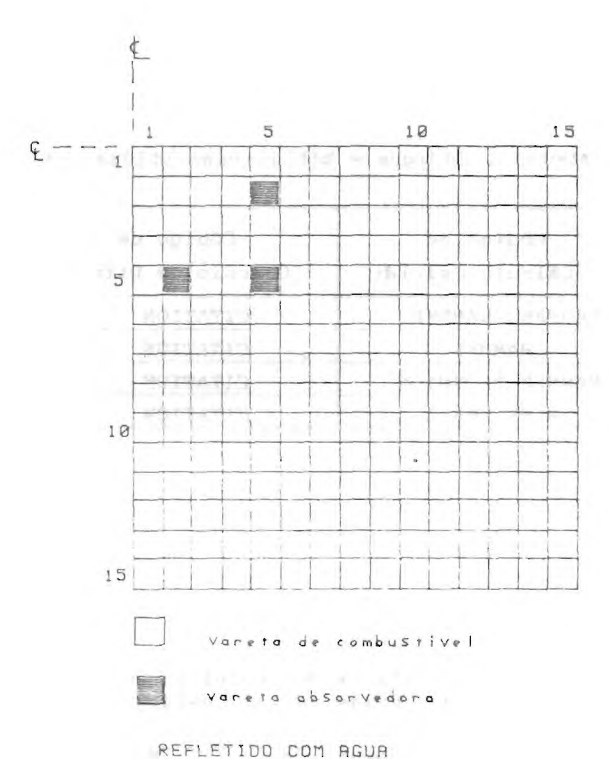
analisassem os seguintes pontos: aproximações Pl ou Bl, tratamento do "gap", modelo do núcleo de espalhamento da água, modelo de auto-blindagem utilizado para célula de controle e de combustível, fator de Dancoff, número de grupos de energia e número de meshs no cálculo celular e de difusão. Solicitou-se também que fossem apresentados os modelos celulares e as bibliotecas utilizadas.

COMPARAÇÃO ENTRE OS CÁLCULOS DOS PARTICIPANTES

A comparação entre os resultados apresentados pelas várias instituições para a análise dos problemas propostos encontram-se resumidas nas tabelas que seguem abaixo. Os traços nas tabelas indicam ausência da informação no texto apresentado pelos participantes e as interrogações indicam falta de clareza a respeito da informação.

As instituições participantes utilizaram os programas CITATION para cálculo de difusão e LEOPARD , HAMMER , HAMMER-TECHNION e WIMS-TRACA para cálculo celular, ver refs. 4-7. A Tabela l mostra os programas e as bibliotecas utilizadas para a análise dos problemas propostos. Algumas instituições se utilizaram de dados de várias bibliotecas para a análise dos problemas.

A Tabela 2 mostra os modelos utilizados para o cálculo celular pelas instituições participantes. Algumas informações não foram mencionadas, entretanto nota-se que: o modelo da célula de combustível inclui 3 ou 4 regiões, no caso de 3 regiões o gap e o revestimento são homogeneizados; o modelo de supercélula foi escolhido por três instituições para representar a vareta absorvedora e o buraco de água. Somente o



NEI EE / 100 CON Magn

Figura 2 - Núcleo de Problema2 (30 x 30). Quadrados hachurados representam varetas absorvedoras de B4C.

IPEN/SP considerou o tratamento da autoblindagem na vareta absorvedora. Características do modelo como autoblindagem, espalhamento do núcleo de H, fator de Dancoff e número de meshs no cálculo celular não foram mencionadas por todos os participantes dificultando uma comparação metodológica.

Na Tabela 3 encontram-se as características do cálculo de difusão. A análise do impacto do número de meshs no cálculo de difusão indicou pouca influência para a faixa de 1 a 5 pinos por mesh.

Informações relativas à composição química envolvendo impurezas de UO2, aço inoxidável, zircaloy, liga Ag-In-Cd e B4C foram apresentadas apenas pelo IEN/CNEN-RJ. Os isótopos de impurezas que não constavam da biblioteca do programa WIMS-TRACA foram substituidos seguindo o critério de equivalência da seção de choque macroscópica.

A Tabela 4 mostra o tratamento dado a composição química dos materiais de acordo com vários participantes.

RESULTADOS OBTIDOS PELOS PARTICIPANTES

Os problemas propostos permitem avaliar os métodos de cálculo de núcleos de combustível de UO₂ e revestimento de aço inoxidável (problema 1), de núcleos e combustível de UO₂ e revestimento de zircaloy (problema 2), de barras de controle de Ag-In-Cd (problema 1) e barras de controle de B_C (problema 2). Para o núcleo sem controle foi considerada a diferença 1-k_{ef} como sendo o "bias" existente na previsão de criticalidade devido células de UO₂-aço inox

e UO_-zircaloy. Assumindo que este "bias", descontado do k produzido pelo cálculo envolvendo varetas de controle, elimine os erros devido ao combustível e revestimento, os resultados obtidos indicariam apenas discrepâncias das estimativas de reatividade de barras de controle. A Tabela 5 mostra as discrepâncias ou "bias" obtidos para os problemas 1 e 2 para o núcleo sem controle. A Tabela 6 apresenta informações semelhantes relacionadas as varetas ou barras de controle.

Nota-se que os resultados com revestimento de zircaloy foram melhores que os com revestimento de aço inoxidável, erro médio de 0,47 % contra 0,59 % em k respectivamente. O IPEN/CNEN-SP e o IEN/CNEN-RJ obtiveram resultados melhores para revestimento de zircaloy demonstrando maior familiaridade com este revestimento típico de PWR's. A CNEN apresentou melhor resultado com aço inoxidável.

Todas as instituições participantes subestimaram k_{ef} para núcleos de UO₂ e revestimentos de zircaloy e aço inoxidável. O IEN/CNEN-RJ que superestimou k_{ef} do núcleo

com revestimento de zircaloy.

Os resultados relativos a barras de controle são bastante diferentes para as várias insituições de forma que o valor médio das discrepâncias não indica qualquer tendência. Os IEN/CNEN-RJ e IPEN/CNEN-SP estimaram melhor a reatividade das varetas de B4C, enquanto a CNEN e O CTEx estimaram melhor a reatividade das varetas de Aq-In-Cd.

A Tabela 7 mostra a reatividade das barras de controle calculadas em relação ao núcleo sem controle. As discrepâncias indicadas na Tabela 7 coincidem com as

Tabela 1. Códigos e bibliotecas utilizados.

Instituição	Código de Cálculo Celular	Código de Cálculo de Difusão	Biblioteca Dados Nucleares
CNEN/RIO	LEOPARD/HAMMER	CITATION	ENDF/B-III, IV e V
CTEx	HAMMER	CITATION	ENDF/B-III
IPEN/SP	HAMMER-TECHNION	CITATION	ENDF/B-IV, V e JENDL-2
IEN/RIO	WIMS-TRACA	CITATION	

Tabela 2. Características dos modelos de cálculo celular utilizados pelas várias instituições participantes.

Enracterial in

Instituição	Tratamento da Autoblindagem	Modelo de Espalhamento H2O
CNEN/RIO		
CTEx		
IPEN/SP	ROLAIDS/NORDHEIN	
IEN/RIO		NELKIN

Instituição	Tratamento do Gap Combust/Barra C.	Correção de DANCOFF	es Kerel of
CNEN/RIO	/ Sim	alo nelojene e de mise	100 87 F08076
CTEx	/		Carlotte all
IPEN/SP	Sim / Sim	on, ab oxerin ab ada	eggi oh erifba
IEN/RIO	Sim / Sim	lar some(3) appear of	milt at 10012

(nstituição	Número de "meshes" Combust./Barra C.	Modelagem da Barra de Controle	
CNEN/RIO	/	Explícito	
CTEx	/	Super-Célula	
IPEN/SP	/	Super-Célula	
IEN/RIO	13 / 27	Super-Célula	

Instituição	Modelagem do Buraco de H ₂ O	Modelagem da Célula Combustíve
CNEN/RIO	and denoted the Land	4 regiões
CTEx	Super-Célula	amenda great en a Luis
IPEN/SP	Super-Célula	3 regiões
IEN/RIO	Super-Célula	4 regiões

⁻⁻⁻ indica item não mencionado

[?] indica item não esclarecido

Tabela 3 Características do modelos de cálculo de difusão.

	Modelagem	Condição de Contorno
Instituição	Geometria/Simetria	Lateral / Super. Infer
CNEN/RIO	2D / (1/4)	Refletido / Fluxo Nulo
CTEx	/	/
IPEN/SP	2D / (1/4)	Refletido / Fluxo Nulo
IEN/RIO	2D / (1/4)	/

Instituição	Número de "meshes" por vareta	Tamanho do Refletor Prob. 1 / Prob. 2	Número de Grupos p/ calc. de dif.
CNEN/RIO	1-5	47 cm / 58.2 cm	2
CTEx		/	4
IPEN/SP	1-2	80 cm / 80 cm	2/4
IEN/RIO	1-4	/	4

Tabela 4 Composição química utilizados para UO2, aço-inox e zircaloy e respectivas impurezas.

Instituição	Zircaloy	UO 2
CNEN/RIO	não mencionou	
CTEx	zircaloy equiv.	
IPEN/SP	não mencionou	
IEN/RIO	explicito + equiv.	explícito

Tabela 5 Resultados de previsão de criticalidade para o problema 1 (núcleo de UO2 com revestimento de aço-inox) e problema 2 (núcleo de UO2 e revestimento de zircaloy).

	Problema 1		Problema 2	
Instituição	Keff	(1-k)	Keff	(1-k)
CNEN/RIO	0.9986	+ 0.0014	0.9915	+ 0.0085
CTEx	0.9870	+ 0.0130	0.9910	+ 0.0090
IPEN/SP	0.9949	+ 0.0051	0.9991	+ 0.0009
IEN/RIO	0.9958	+ 0.0042	1.0006	- 0.0006

Tabela 6 Discrepâncias nas estimativas de criticalidade de núcleos e de reatividade de barras de controle.

Instituição	Discrepância em vareta de Ag-In-Cd	Discrepância em vareta de B4C
CNEN/RIO	+ 0.35	+ 1.18
CTEx	+ 1.54	+ 3.36
IPEN/SP	+ 0.35	+ 0.08
IEN/RIO	+ 0.39	+ 0.17
Média	+ 0.66	+ 1.20

Tabela 7 Reatividade das barras de controle.

Instituição	Ag-In-Cd	Erro*	B4C (%)	Erro*
CNEN/RIO	4.33	-0.11	7.72	-1.20
CTEx	2.88	-1.56	6.97	-1.95
IPEN/SP	4.09	-0.35	8.02	-0.90
IEN/RIO	4.47	+0.03	8.86	-0.06
Experimental	4.44	e ()	8.92	61/35-

O erro acima refere-se a diferença entre as reatividades calculada e experimental e é apresentado em unidades de (%).

indicadas na Tabela 6 em relação aos itens CNEN/RIO vareta de B₄C e CTEx e IPEN/SP vareta de Ag-In-Cd. Esperava-se que as discrepâncias indicadas devessem ser próximas dado que os resultados de Tabela 6 incluem as barras de controle.

COMENTÁRIOS FINAIS

Os resultados apresentados indicam que os participantes tem uma boa capacidade de cálculo de reatores térmicos sem considerações de queima. As discrepâncias de 0.59% e 0.48% para núcleos de UO2 com revestimento de aço inoxidavél e zircaloy podem ser considerados bons dado que algumas informações sobre os dados experimentais não estavam disponíveis nas Refs 2,3.

Os resultados apresentados em relação a barra de controle foram inferiores com erros médios de 0.66% para barras de Ag-In-Cd e 1.2% para as barras de B.C. Entretanto os

resultados apresentados pela CNEN, IEN e IPEN foram melhores.

va-se que as em ser próximas la 6 incluem as l

Seria interessante que as instituições participantes unidos num esforço conjunto investissem na padronização de uma versão deste programa, acrescentando mais flexíveis e que atenda a todos os grupos interessados no país.

Em relação aos cálculos celulares notou-se que os vários participantes utilizam programas distintos. Notou-se também que algumas instituições não tem capacidade de processar os dados nucleares de bibliotecas básicas, como a ENDF/B-IV, para gerar bibliotecas de programas celulares como WIMS-TRACA e HAMMER. Um esforço no sentido de uniformizar no país um programa de seções de choque com uma biblioteca de dados abrangente parece ser o caminho a seguir. A partir daí poderíamos acompanhar nesta área a evolução está ocorrendo no mundo.

APÊNDICE

Abaixo encontram-se os dados relativos aos problemas 1 e 2.

Tabela 8 Dados da vareta combustivel do problema 1.

Combustivel	UO2
Enriquecimento em peso	2,7 %
Densidade do combustível	93 % da teórica
Diâmetro da pastilha	0,762 cm
Revestimento	SS-304
Densidade do SS-304	7,915 g/cm3
Diâmetro externo do revestimento	0,859 cm
Espessura do revestimento	0,041 cm
Passo da rede	1,105 cm

Tabela 9 Dados da vareta de absorvedor Ag-In-Cd do problema 1.

Material absorvedor	Ag-In-Cd
Densidade do absorvedor	10,2 g/cm3
Diâmetro Interno do Absorvedor	0,660 cm
Revestimento	SS-304
Densidade do SS-304	7,915 g/cm3
Diâmetro externo do revestimento	0,724 cm
Espessura do revestimento	0,025 cm

Tabela 10 Dados da configuração do experimento do problema 1.

Rede quadrada de 61 X 61 posições
Economia de refletor axial total 12,6 cm
Núcleo sem controle
Numero de varetas de combustível 3697
Números de posições com água 48,12 cm
Núcleo com controle
Numero de varetas de combustível 3697
Números de varetas de combustível 3697
Números de varetas absorvedoras 24
Altura de agua 77,46 cm
Temperatura da agua 20 C

Tabela 11 Composição química do combustivel UO2 (2,70 w/o) do problema 1.

88,1 % 80 ppm < 0,1 ppm 25 ppm C Ag F B • < 0,5 ppm Cr 63 ppm 2,0 ppm 617 ppm Cia Fe Ni 80 ppm Pb 2 ppm Si 19 ppm Sm 1 ppm 0 restante

Tabela 12 Composição quimica do revestimento de SS-304 do problema 1.

0,06 % Mn 1,23 % P 0,03 % Ni 9,58 % S 0,015 % Si 0,50 % Cr 18,20 % Cu 0,35 % Fe restante

Tabela 13 Composição química da liga Ag-In-Cd da vareta absorvedora do problema 1.

Ag 15,17 % In 5,08 % Cd Bi 0,06 % Cu Fe < 0,001 % Pb < 0,001 % Sn < 0,001 % 0,004 % Zn

Tabela 14 Dados da vareta combustivel para o problema 2.

U02 Combustivel 2,72 % 95 % da teórica Enriquecimento em peso Densidade do Combustível 1,016 cm Diâmetro da pastilha Revestimento Zircaloy-4 Densidade do Zircaloy-4 6,553 g/cm 1,1895cm 0,0799cm Diâmetro externo do revestimento Espessura do revestimento Passo da rede 1,524 cm

Tabela 15 Dados da vareta absorvedora do problema 2.

Material absorvedor	B4C
Densidade do absorvedor	1,35 g/cm3
Diâmetro do absorvedor	1,003 cm
Revestimento	SS-304
Diâmetro externo do revestimento	1,105 cm
Espessura do revestimento	0,051 cm

Tabela 16 Dados da configuração do problema 2.

_	
Rede quadrada de 30 X 30 posições	
Economia de refletor axial total	13,1 cm
Núcleo sem controle	
Numero de varetas de combustível	888
Números de posições com água	12
Altura de água	39,63 cm
Núcleo com controle	
Numero de varetas de combustível	888
Números de varetas absorvedoras	12
Altura de agua	100.01 cm
Temperatura da agua	20 C

Tabela 17 Compsição química do combustível UO2 (2,72 w/o) do problema 2.

U Al C F B Bi Cd Co Ca Cr Cu Fe In	88.15 w/o 40 ppm 10 ppm 10 ppm 0,5 ppm 1 ppm 0,3 ppm 4 ppm 9,5 ppm 34 ppm 2,0 ppm 266 ppm 3 ppm	Mg Mn Mo Ni Pb Si Sn Ti V W N Zn O	4,4 ppm 2,4 ppm 6,2 ppm 24,3 ppm < 8 ppm < 21 ppm < 2 ppm 3,9 ppm < 1 ppm < 50 ppm < 18 ppm < 8 ppm
------------------------------------	---	--	---

Tabela 13 Composição química do revestimento de Zircaloy-4 do problema 2.

```
Zr 98,2 %
Fe 0,21 %
Cr 0,10 %
Ni 0,004 %
Sn 1,4 %
Hf 100 ppm
Al 20 ppm
B 0,2 ppm
C 95 ppm
Cd 0,2 ppm
Cd 0,2 ppm
Cd 0,2 ppm
Mo 10 ppm
Mu 20 ppm
Mu 50 ppm
Mu 50 ppm
```

REFERÊNCIAS

- [1] Ishiguro, Y., et al.. "Advances in the analysis of the NEACRP high conversion LWR benchmark problems", Proc. of The International Conference on The Physics of Reactor: Operation, Design and Computation., Physor-90, Vol-1, p.I-54, Marseille France, April 1990.
- [2] Gaafer, M.A., Mango, L., Orestano, F.V., Pistella, F; "Assessment of the reliability of the CNEN's calculational methods for the neutronic design of PWR", Nucl. Tech. , Vol. 27, p. 187-206, 1975.
- [3] Sha, W.T.; "On analysis of reactivity worths of the rod cluster control (RCC) elements and local water hole power density peaking", WCAP-3269-47, Westinghouse Eletric, 1967.
- [4] Filho, P.C., Conti, F.S.C.; "Tema Especial em Física de Reatores - VIII ENFIR"; VIII ENFIR, Atibaia-SP, Brasil, Sept. 1991
- [5] Vellozo, O.S., Vital, H.C., Balthar, M.C.V.; "Tema Especial em Física de Reatores VIII ENFIR"; VIII ENFIR, Atibaia-SP, Brasil, Sept. 1991.
- [6] Ferreira, C.R., Yoriyaz, H..; " Tema Especial em Física de Reatores - VIII ENFIR"; VIII ENFIR, Atibaia-SP, Brasil, Sept. 1991.
- [7] Bastos, W.S., Couto, R.T., Santo, A.C.F., Remke, C.A.; Waintraub, M.; "Tema Especial em Física de Reatores VIII ENFIR"; VIII ENFIR, Atibaia-SP, Brasil, Sept. 1991.